

Juntura Metal-Óxido-Semiconductor

Dispositivos Semiconductores

Maestría en Ciencias de la Ingeniería

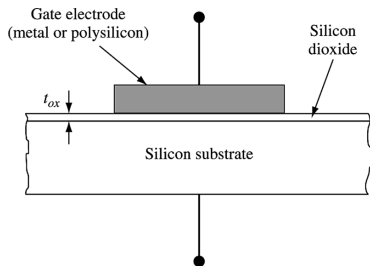
Universidad de Buenos Aires, Facultad de Ingeniería

Docentes a cargo: **M. G. González y S. H. Carbonetto**



Tabla de contenido

- 1 Diagrama de bandas
- 2 Regímenes de operación
- 3 Función potencial y densidad de carga en el SC
- 4 Características Capacitancia vs. Tensión



Corte lateral

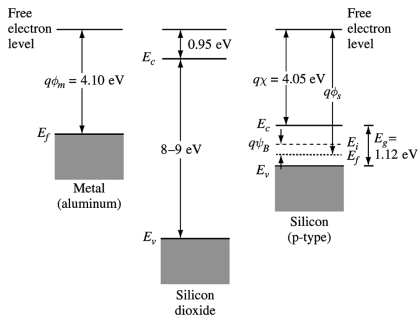
Tres materiales con comportamiento diferente:

Metal Solo admite carga en superficie.
El campo en su interior es nulo:
 $\mathcal{E}_m = 0$.
Es un equipotencial.

Óxido No permite la conducción de corriente.
Idealmente, no admite carga en su interior: $\rho_{ox} = 0$.

SC Permite distribución de carga en volumen.

Diagrama de bandas conjunta M-Ox-SC ideal



- **Free electron level:** Energía para que el e^- se libere de la red (E_0).
- **Afinidad electrónica:** Energía para que un e^- en la BC se libere de la red.
 - **Silicio:** $q\chi = 4,05 \text{ eV}$.
- **Función trabajo:** Diferencia entre la energía de Fermi y E_0 .
 - **Aluminio:** $q\phi_m = 4,1 \text{ eV}$.
 - **Silicio:**

$$q\phi_s = q\chi + E_c - E_f \simeq q\chi + \frac{E_g}{2} - q\psi_B$$

$$\psi_B = -\frac{kT}{q} \ln \left(\frac{N_a}{n_i} \right)$$

Diagrama de bandas juntura M-Ox-SC ideal

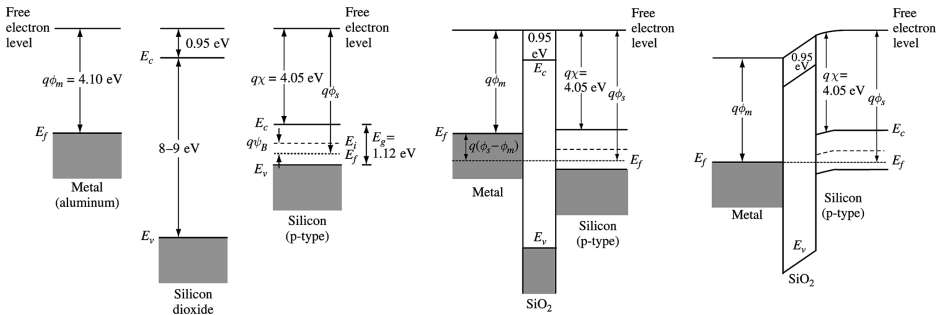
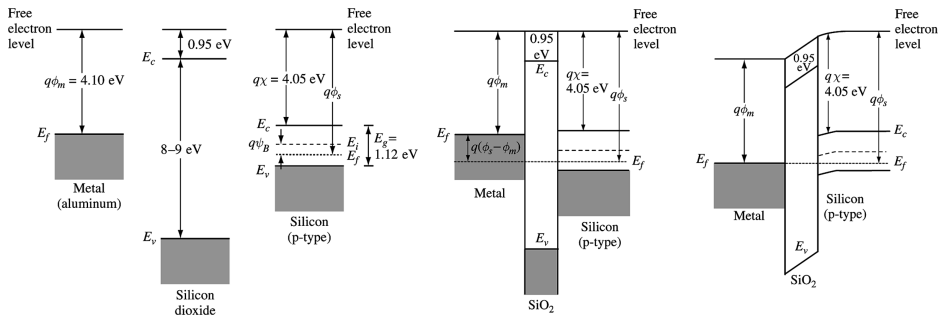
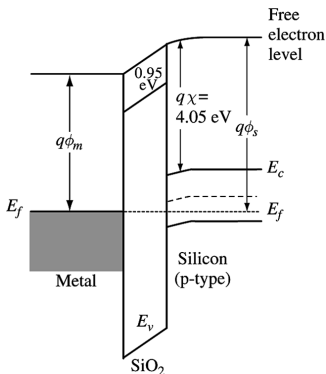


Diagrama de bandas juntura M-Ox-SC ideal



- E_0 debe ser continuo en la interfaz de los materiales.
- Existe una diferencia entre los niveles de Fermi M-SC: $\Delta E_f = q(\phi_s - \phi_m)$.
- Como el nivel de Fermi debe ser constante en el sistema: se curvan las bandas de energía.

Diagrama de bandas juntura M-Ox-SC ideal



- Como $\mathcal{E}_m = 0 \Rightarrow$ la banda del metal no puede curvarse.
- Como $\rho_{ox} = 0 \Rightarrow \mathcal{E}_{ox} = \text{cte} \Rightarrow$ la energía en el óxido varía linealmente.
- En el SC, la banda se curva de manera similar a una juntura PN o juntura M-SC.
- Tensión de contacto:

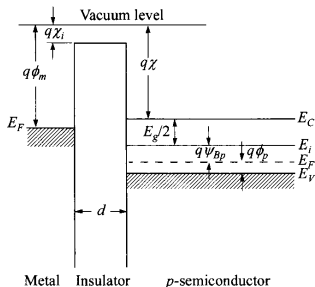
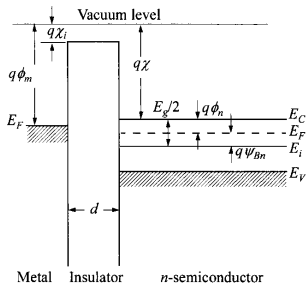
$$\psi_{bi} = \frac{\Delta E_f}{-q} = \frac{E_{f_m} - E_{f_s}}{-q} = \phi_s - \phi_m$$

$$\psi_{bi} = \chi + \frac{E_g}{2q} - \psi_B - \phi_m$$

$$\psi_{bi} = \frac{E_{f_m} - E_{f_s}}{-q} = \phi_s - \phi_m = \chi + \frac{E_g}{2q} + \frac{kT}{q} \ln \left(\frac{N_a}{n_i} \right) - \phi_m \quad (1)$$

Diagrama de bandas juntura M-Ox-SC ideal

Sustrato N y Sustrato P

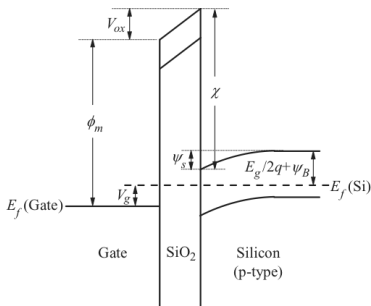


- $q\phi_m$ y $q\chi$ se mantienen en ambos casos.
- Cambia la posición del nivel de Fermi (E_f) en el sustrato.
- Cada sustrato tiene una tensión de contacto distinto.

$$\psi_{bi,n} = \chi + \frac{E_g}{2q} - \frac{kT}{q} \ln \left(\frac{N_d}{n_i} \right) - \phi_m$$

$$\psi_{bi,p} = \chi + \frac{E_g}{2q} + \frac{kT}{q} \ln \left(\frac{N_a}{n_i} \right) - \phi_m$$

Tensión aplicada, potencial de superficie y Carga en el sustrato



Al aplicar una tensión al Gate respecto del Sustrato ($V_g > 0$):

- E_{f_g} baja respecto de E_{f_b} en $q V_g$.
- Se acentúa la curvatura de bandas.
- Tensión de superficie (ψ_s): cuán curvadas están las bandas del SC.

$$\psi_s = \frac{E_{f_i}(x=0) - E_{f_i}(x \rightarrow \infty)}{-q} = \Delta V_b$$

- ΔV_{ox} es la caída de tensión en el óxido.

$$V_g = \psi_B - \frac{E_g}{2q} + \underbrace{\psi_s}_{=\Delta V_b} - \chi + \Delta V_{ox} + \phi_m = \psi_s + \Delta V_{ox} + \phi_m - \underbrace{\left(\chi + \frac{E_g}{2q} - \psi_B \right)}_{\phi_s}$$

$$V_g - (\phi_m - \phi_s) = V_g + \psi_{bi} = \psi_s + \Delta V_{ox} \quad (2)$$

Por condición de contorno dieléctrico en la interfaz Ox-SC:

$$\epsilon_{ox} \mathcal{E}_{ox}(x = 0^-) = \epsilon_s \mathcal{E}_s(x = 0^+)$$

Como \mathcal{E}_{ox} es constante:

$$\mathcal{E}_{ox}(x = 0^-) = \frac{\Delta V_{ox}}{t_{ox}}$$

En $x = 0$, \mathcal{E}_s “ve” **toda** la carga en el SC (Q'_s):

$$\mathcal{E}_s(x = 0^+) = \frac{-Q'_s}{\epsilon_s}$$

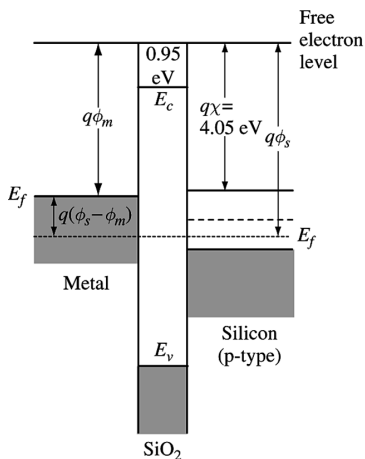
Despejando $\Delta V_{ox} = \frac{-Q'_s}{C'_{ox}}$ y reemplazando en 2:

$$V_g - (\phi_m - \phi_s) = \psi_s + \frac{-Q'_s}{C'_{ox}} \quad (3)$$

Tensión de Bandas Planas

Bandas Planas (*Flat Band*)

La tensión V_g que se debe aplicar para **eliminar** la curvatura de bandas



Nivel constante de energía \Rightarrow

- $\mathcal{E}_{ox} = 0 \Rightarrow \Delta V_{ox} = 0.$
- $\psi_s = 0 \Rightarrow Q'_s = 0.$
- $p(x) = N_a \quad \wedge \quad n(x) = \frac{n_i^2}{N_a}$

$$V_{FB} \triangleq V_g : V_g - (\phi_m - \phi_s) = 0$$

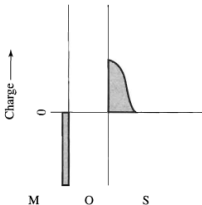
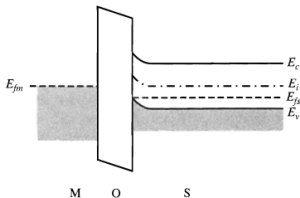
$$\Rightarrow V_{FB} = \phi_m - \phi_s \quad (4)$$

La estructura MOS en *Flat Band* es como un capacitor “vacío”.

Acumulación

Capacitor MOS: Si $V_G < V_{FB}$, $Q'_g < 0$ y $Q'_s > 0$.

$V_g - V_{FB} < 0$ aumenta E_{f_g} por encima del nivel de *Flat Band*.

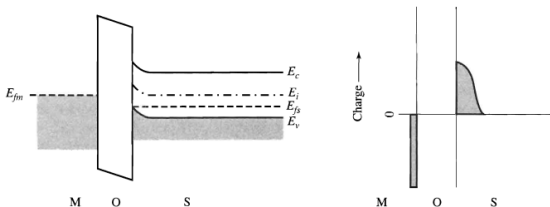


La curvatura de bandas en el SC se produce hacia mayores energías.

Al acercarse E_v a E_f , aumenta $p(x)$.

Capacitor MOS: Si $V_G < V_{FB}$, $Q'_g < 0$ y $Q'_s > 0$.

$V_g - V_{FB} < 0$ aumenta E_{f_g} por encima del nivel de *Flat Band*.



La curvatura de bandas en el SC se produce hacia mayores energías.

Al acercarse E_v a E_f , aumenta $p(x)$.

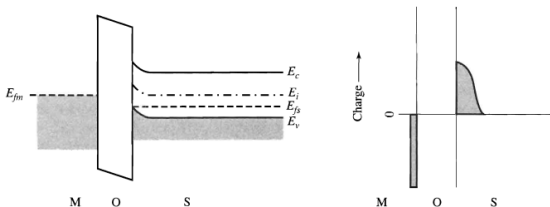
Densidad de mayoritarios en la interfaz:

$$p_s = p(x=0) = n_i \exp \left[\frac{E_{fi}(0) - E_f}{kT} \right] = n_i \exp \left[\frac{E_{fi}(0) - E_{fi}(\infty) + E_{fi}(\infty) - E_f}{kT} \right]$$

Acumulación

Capacitor MOS: Si $V_G < V_{FB}$, $Q'_g < 0$ y $Q'_s > 0$.

$V_g - V_{FB} < 0$ aumenta E_{f_g} por encima del nivel de *Flat Band*.



La curvatura de bandas en el SC se produce hacia mayores energías.

Al acercarse E_v a E_f , aumenta $p(x)$.

Densidad de mayoritarios en la interfaz:

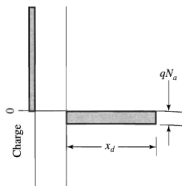
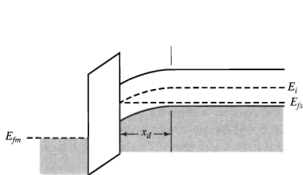
$$p_s = p(x=0) = n_i \exp \left[\frac{E_{fi}(0) - E_f}{kT} \right] = n_i \exp \left[\frac{E_{fi}(0) - E_{fi}(\infty) + E_{fi}(\infty) - E_f}{kT} \right]$$

$$p_s = n_i \exp \left[\frac{E_{fi}(\infty) - E_f}{kT} \right] \exp \left[\frac{E_{fi}(0) - E_{fi}(\infty)}{kT} \right] = N_a \exp \left[\frac{-\psi_s}{V_{th}} \right] \quad (5)$$

El exceso de portadores mayoritarios se acumula en la interfaz

Vaciamiento

Capacitor MOS: Si $V_G > V_{FB}$, $Q'_g > 0$ y $Q'_s < 0$.



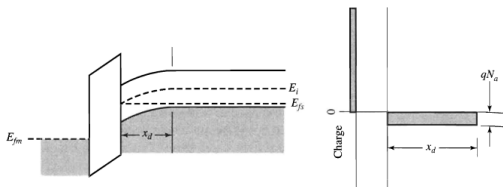
$V_g - V_{FB} > 0$ disminuye E_{fg} por debajo del nivel de *Flat Band*.

Al alejarse E_v de E_f , disminuye $p(x)$.

Al acercarse E_c a E_f , aumenta $n(x)$.

Vaciamiento

Capacitor MOS: Si $V_G > V_{FB}$, $Q'_g > 0$ y $Q'_s < 0$.



$V_g - V_{FB} > 0$ disminuye E_{f_g} por debajo del nivel de *Flat Band*.

Al alejarse E_v de E_f , disminuye $p(x)$.

Al acercarse E_c a E_f , aumenta $n(x)$.

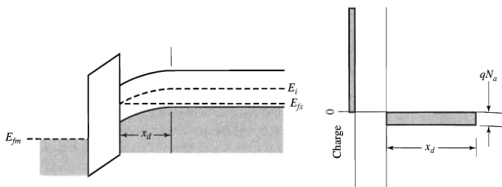
Mientras la curvatura de bandas no sea muy pronunciada:

Hipótesis de vaciamiento

$$\rho(x) = q [p(x) - n(x) - N_a^-(x)] \simeq -q N_a \text{ para } x < x_d = W_d$$

Vaciamiento

Capacitor MOS: Si $V_G > V_{FB}$, $Q'_g > 0$ y $Q'_s < 0$.



$V_g - V_{FB} > 0$ disminuye E_{fg} por debajo del nivel de *Flat Band*.

Al alejarse E_v de E_f , disminuye $p(x)$.

Al acercarse E_c a E_f , aumenta $n(x)$.

Mientras la curvatura de bandas no sea muy pronunciada:

Hipótesis de vaciamiento

$$\rho(x) = q [p(x) - n(x) - N_a^-(x)] \simeq -q N_a \text{ para } x < x_d = W_d$$

$$Q'_s = -q N_a W_d \Rightarrow \mathcal{E}_{max} = \frac{-Q'_s}{\epsilon_s} = \frac{q N_a W_d}{\epsilon_s} \Rightarrow \psi_s = \frac{\mathcal{E}_{max} W_d}{2} = \frac{q N_a W_d^2}{2\epsilon_s}$$

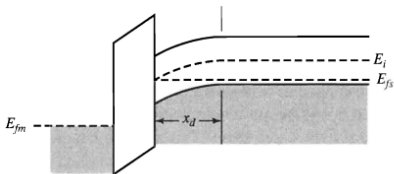
$$V_g - V_{FB} = \psi_s - \frac{Q'_s}{C'_{ox}} = \frac{q N_a W_d^2}{2\epsilon_s} + \frac{q N_a W_d}{C'_{ox}} \Rightarrow W_d = \frac{\epsilon_s}{C'_{ox}} \left[\sqrt{1 + \frac{4}{\gamma^2} (V_g - V_{FB})} - 1 \right]$$

Definition

Sustrato P: Cuando $E_c - E_f < E_f - E_v$ en $x = 0 \Rightarrow n(0) > p(0)$.

Sustrato N: Cuando $E_f - E_v < E_c - E_f$ en $x = 0 \Rightarrow p(0) > n(0)$.

Esto ocurre cuando $q\psi_s > E_i - E_f = -q\psi_B$



$$|Q'_{s,id}| > |Q'_{s,vac}|$$

$$W_{d,id} > W_{d,vac}$$

Si ψ_s no es lo suficientemente grande, es válida la hipótesis de vaciamiento:

$$\rho(x) \simeq -q N_a \text{ para } x < W_d$$

Definition

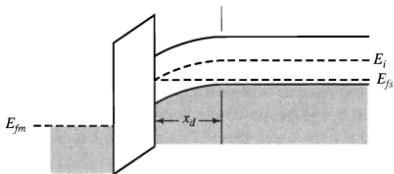
Sustrato P: Cuando $E_c - E_f < E_f - E_v$ en $x = 0 \Rightarrow n(0) > p(0)$.

Sustrato N: Cuando $E_f - E_v < E_c - E_f$ en $x = 0 \Rightarrow p(0) > n(0)$.

Esto ocurre cuando $q\psi_s > E_i - E_f = -q\psi_B$

$$|Q'_{s,id}| > |Q'_{s,vac}|$$

$$W_{d,id} > W_{d,vac}$$



Si ψ_s no es lo suficientemente grande, es válida la hipótesis de vaciamiento:

$$\rho(x) \simeq -q N_a \text{ para } x < W_d$$

$$Q'_s = -q N_a W_d \Rightarrow \psi_s = \frac{q N_a W_d^2}{2\epsilon_s} \Rightarrow W_d = \sqrt{\frac{2\epsilon_s \psi_s}{q N_a}} \simeq 0,1 \mu\text{m}$$

$$W_d = \frac{\epsilon_s}{C'_{ox}} \left[\sqrt{1 + \frac{4}{\gamma^2} (V_g - V_{FB})} - 1 \right] \text{ con } \gamma^2 = \frac{2 q N_a \epsilon_s}{C'^2_{ox}}$$

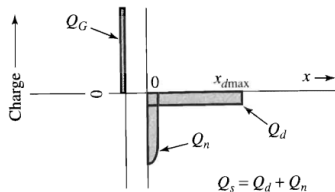
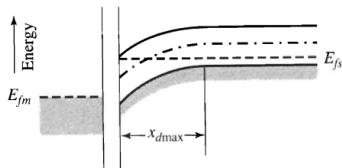
Inversión fuerte

Definition

Sustrato P: Cuando $(E_c - E_f)_{x=0} < (E_f - E_v)_{x > W_d} \Rightarrow n(0) > N_a$.

Sustrato N: Cuando $(E_f - E_v)_{x=0} < (E_c - E_f)_{x > W_d} \Rightarrow p(0) > N_d$.

Esto ocurre cuando $q\psi_s > E_i - E_f = -2q\psi_B$



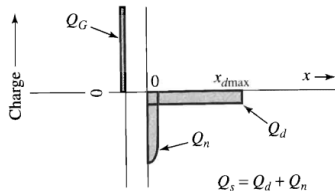
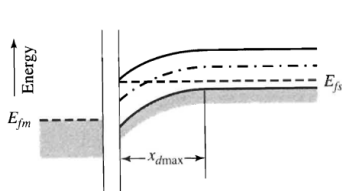
Inversión fuerte

Definition

Sustrato P: Cuando $(E_c - E_f)_{x=0} < (E_f - E_v)_{x>W_d} \Rightarrow n(0) > N_a$.

Sustrato N: Cuando $(E_f - E_v)_{x=0} < (E_c - E_f)_{x>W_d} \Rightarrow p(0) > N_d$.

Esto ocurre cuando $q\psi_s > E_i - E_f = -2q\psi_B$



No es válida la hipótesis de vaciamiento

$$n(0) \simeq N_a \Rightarrow \rho(x) = -q [n(x) + N_a^-(x)]$$

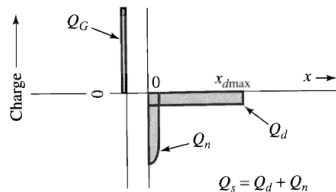
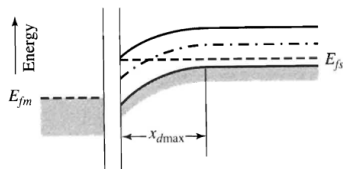
Inversión fuerte

Definition

Sustrato P: Cuando $(E_c - E_f)_{x=0} < (E_f - E_v)_{x>W_d} \Rightarrow n(0) > N_a$.

Sustrato N: Cuando $(E_f - E_v)_{x=0} < (E_c - E_f)_{x>W_d} \Rightarrow p(0) > N_d$.

Esto ocurre cuando $q\psi_s > E_i - E_f = -2q\psi_B$



No es válida la hipótesis de vaciamiento

$$n(0) \simeq N_a \Rightarrow \rho(x) = -q [n(x) + N_a^-(x)]$$

La carga Q'_s se divide entre la carga fija (N_a^-) y la carga libre de inversión ($n(x)$)

$$Q'_s = Q'_d + Q'_{inv}$$

Función potencial y densidad de carga en el SC

Ecuación de Poisson

$$\frac{d^2\psi(x)}{dx^2} = -\frac{d\mathcal{E}}{dx} = -\frac{q}{\epsilon_s} [p(x) - n(x) - N_a]$$

Condiciones de contorno

$$\psi(0) = \psi_s \quad \psi(bulk) = 0$$

$$p(bulk) = p_0 \quad n(bulk) = n_0 = \frac{n_i^2}{p_0}$$

$$N_a = p_0 - \frac{n_i^2}{p_0}$$

Función potencial y densidad de carga en el SC

Ecuación de Poisson

$$\frac{d^2\psi(x)}{dx^2} = -\frac{d\mathcal{E}}{dx} = -\frac{q}{\epsilon_s} [p(x) - n(x) - N_a]$$

Condiciones de contorno

$$\psi(0) = \psi_s \quad \psi(bulk) = 0$$

$$p(bulk) = p_0 \quad n(bulk) = n_0 = \frac{n_i^2}{p_0}$$

$$N_a = p_0 - \frac{n_i^2}{p_0}$$

$$p(x) = N_a \exp\left(-\frac{\psi(x)}{V_{th}}\right)$$

$$n(x) = \frac{n_i^2}{N_a} \exp\left(\frac{\psi(x)}{V_{th}}\right)$$

Función potencial y densidad de carga en el SC

Ecuación de Poisson

$$\frac{d^2\psi(x)}{dx^2} = -\frac{d\mathcal{E}}{dx} = -\frac{q}{\epsilon_s} [p(x) - n(x) - N_a]$$

Condiciones de contorno

$$\psi(0) = \psi_s \quad \psi(bulk) = 0$$

$$p(bulk) = p_0 \quad n(bulk) = n_0 = \frac{n_i^2}{p_0}$$

$$N_a = p_0 - \frac{n_i^2}{p_0}$$

$$p(x) = N_a \exp\left(-\frac{\psi(x)}{V_{th}}\right)$$

$$n(x) = \frac{n_i^2}{N_a} \exp\left(\frac{\psi(x)}{V_{th}}\right)$$

$$\frac{d^2\psi(x)}{dx^2} = -\frac{q}{\epsilon_s} \left[N_a \left(\exp\left(-\frac{\psi(x)}{V_{th}}\right) - 1 \right) - \frac{n_i^2}{N_a} \left(\exp\left(\frac{\psi(x)}{V_{th}}\right) - 1 \right) \right]$$

Función potencial y densidad de carga en el SC

$$\frac{d^2\psi(x)}{dx^2} = -\frac{q}{\epsilon_s} \left[N_a \left(\exp\left(-\frac{\psi(x)}{V_{th}}\right) - 1 \right) - \frac{n_i^2}{N_a} \left(\exp\left(\frac{\psi(x)}{V_{th}}\right) - 1 \right) \right]$$

$$d\psi = \frac{d\psi}{dx} dx \quad d\left(\frac{d\psi}{dx}\right) = \frac{d^2\psi(x)}{dx^2} dx$$

Multiplicando a ambos lados por $\frac{d\psi}{dx} dx$ e integrando desde $(\psi = 0; \frac{d\psi}{dx} = 0)$:

$$\int_0^{\frac{d\psi}{dx}} \frac{d\psi}{dx} d\left(\frac{d\psi}{dx}\right) = -\frac{q}{\epsilon_s} \int_0^{\psi} \left[N_a \left(\exp\left(-\frac{\psi}{V_{th}}\right) - 1 \right) - \frac{n_i^2}{N_a} \left(\exp\left(\frac{\psi}{V_{th}}\right) - 1 \right) \right] d\psi$$

$$\frac{1}{2} \left(\frac{d\psi}{dx} \right)^2 = \frac{q N_a}{\epsilon_s} \left[\left(V_{th} \exp\left(-\frac{\psi}{V_{th}}\right) - V_{th} + \psi \right) + \frac{n_i^2}{N_a^2} \left(V_{th} \exp\left(\frac{\psi}{V_{th}}\right) - V_{th} - \psi \right) \right]$$

Por definición de campo eléctrico (\mathcal{E}) y reordenando la expresión anterior:

$$\mathcal{E}^2 = \left(\frac{d\psi}{dx} \right)^2 = \frac{2q V_{th} N_a}{\epsilon_s} \left[\left(\exp\left(-\frac{\psi}{V_{th}}\right) + \frac{\psi}{V_{th}} - 1 \right) + \frac{n_i^2}{N_a^2} \left(\exp\left(\frac{\psi}{V_{th}}\right) - \frac{\psi}{V_{th}} - 1 \right) \right] \quad (6)$$

Función potencial y densidad de carga en el SC

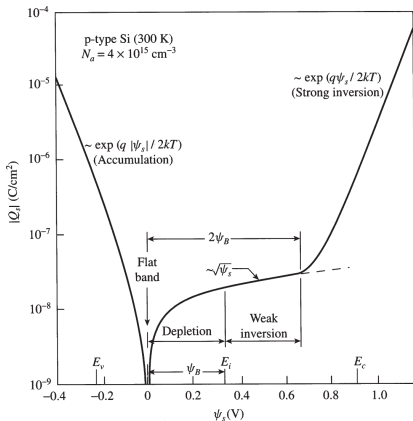
Por lo que evaluando en $x = 0$, $\psi = \psi_s$ y el campo “ve” **toda** la carga en el SC:

$$|Q'_s| = \epsilon_s \mathcal{E}_s = \sqrt{2\epsilon_s q V_{th} N_a} \left[\left(\exp\left(-\frac{\psi_s}{V_{th}}\right) + \frac{\psi_s}{V_{th}} - 1 \right) + \frac{n_i^2}{N_a^2} \left(\exp\left(\frac{\psi_s}{V_{th}}\right) - \frac{\psi_s}{V_{th}} - 1 \right) \right]^{1/2} \quad (7)$$

Función potencial y densidad de carga en el SC

Por lo que evaluando en $x = 0$, $\psi = \psi_s$ y el campo “ve” **toda** la carga en el SC:

$$|Q'_s| = \epsilon_s \mathcal{E}_s = \sqrt{2\epsilon_s q V_{th} N_a} \left[\left(\exp\left(-\frac{\psi_s}{V_{th}}\right) + \frac{\psi_s}{V_{th}} - 1 \right) + \frac{n_i^2}{N_a^2} \left(\exp\left(\frac{\psi_s}{V_{th}}\right) - \frac{\psi_s}{V_{th}} - 1 \right) \right]^{1/2} \quad (7)$$



- Si $\psi_s = 0 \Rightarrow Q'_s = 0$.
- Si $\psi_s \ll -V_{th} \Rightarrow \exp\left(-\frac{\psi_s}{V_{th}}\right)$ domina
 $\Rightarrow Q'_s \propto \exp\left(-\frac{\psi_s}{2V_{th}}\right)$
- $\frac{n_i^2}{N_a^2} \approx 10^{-6} - 10^{-14}$
 \Rightarrow Para $\psi_s > 0$ el segundo término sigue siendo muy pequeño.
 $\Rightarrow Q'_s \simeq -\sqrt{2\epsilon_s q N_a} \psi_s$
- Si $\psi_s \gg V_{th} \Rightarrow \exp\left(\frac{\psi_s}{V_{th}}\right)$ domina
 $\Rightarrow Q'_s \propto \exp\left(\frac{\psi_s}{2V_{th}}\right)$

Función potencial y densidad de carga en el SC

Dependencia con la tensión aplicada

- **Acumulación** ($\psi_s < 0$)

Simplificando a partir de la ecuación (7):

$$Q'_s \simeq \sqrt{2\epsilon_s q V_{th} N_a} \exp\left(-\frac{\psi_s}{2V_{th}}\right)$$

$$V_g - V_{FB} = \frac{-\sqrt{2\epsilon_s q V_{th} N_a}}{C'_{ox}} \exp\left(-\frac{\psi_s}{2V_{th}}\right) + \psi_s$$

$$d(V_g - V_{FB}) = \underbrace{\frac{\sqrt{2\epsilon_s q V_{th} N_a}}{V_{th} C'_{ox}}}_{\simeq 10 \sim 100} \underbrace{\exp\left(-\frac{\psi_s}{2V_{th}}\right)}_{>1} d\psi_s + d\psi_s$$

Como en *Flat Band* $\psi_s = 0$, en acumulación $\psi_s \simeq 0$

$$V_g - V_{FB} \simeq \Delta V_{ox} = \frac{-Q'_s}{C'_{ox}} \Rightarrow Q'_s \simeq -C'_{ox} (V_g - V_{FB})$$

Función potencial y densidad de carga en el SC

Dependencia con la tensión aplicada

- Acumulación ($\psi_s < 0$)

¿Cuánto es el espesor de la capa de acumulación (W_{acc})?

$$\frac{d\psi}{dx} = \sqrt{\frac{2qV_{th}N_a}{\epsilon_s}} \exp\left(-\frac{\psi}{2V_{th}}\right)$$

Función potencial y densidad de carga en el SC

Dependencia con la tensión aplicada

- Acumulación ($\psi_s < 0$)

¿Cuánto es el espesor de la capa de acumulación (W_{acc})?

$$\frac{d\psi}{dx} = \sqrt{\frac{2q V_{th} N_a}{\epsilon_s}} \exp\left(-\frac{\psi}{2 V_{th}}\right)$$

$$\int_{\psi_s}^{\psi(x)} \exp\left(\frac{\psi}{2 V_{th}}\right) d\psi = \sqrt{\frac{2q V_{th} N_a}{\epsilon_s}} \int_0^x dx$$

$$2 V_{th} \left[\exp\left(\frac{\psi(x)}{2 V_{th}}\right) - \exp\left(\frac{\psi_s}{2 V_{th}}\right) \right] = \sqrt{\frac{2q V_{th} N_a}{\epsilon_s}} x$$

$$\Rightarrow \psi(x) = 2 V_{th} \ln \left[\underbrace{\sqrt{\frac{q N_a}{2 V_{th} \epsilon_s}} x}_{1/W_{acc}} + \underbrace{\exp\left(\frac{\psi_s}{2 V_{th}}\right)}_{<1} \right]$$

Función potencial y densidad de carga en el SC

Dependencia con la tensión aplicada

- Acumulación ($\psi_s < 0$)

¿Cuánto es el espesor de la capa de acumulación (W_{acc})?

$$\frac{d\psi}{dx} = \sqrt{\frac{2q V_{th} N_a}{\epsilon_s}} \exp\left(-\frac{\psi}{2 V_{th}}\right)$$

$$\int_{\psi_s}^{\psi(x)} \exp\left(\frac{\psi}{2 V_{th}}\right) d\psi = \sqrt{\frac{2q V_{th} N_a}{\epsilon_s}} \int_0^x dx$$

$$2 V_{th} \left[\exp\left(\frac{\psi(x)}{2 V_{th}}\right) - \exp\left(\frac{\psi_s}{2 V_{th}}\right) \right] = \sqrt{\frac{2q V_{th} N_a}{\epsilon_s}} x$$

$$\Rightarrow \psi(x) = 2 V_{th} \ln \left[\underbrace{\sqrt{\frac{q N_a}{2 V_{th} \epsilon_s}} x}_{1/W_{acc}} + \underbrace{\exp\left(\frac{\psi_s}{2 V_{th}}\right)}_{<1} \right]$$

$$\Rightarrow W_{acc} = \sqrt{\frac{2 V_{th} \epsilon_s}{q N_a}} = \sqrt{2} L_D \simeq 50 \text{ nm}$$

Función potencial y densidad de carga en el SC

Dependencia con la tensión aplicada

- Vaciamiento e Inversión débil ($0 < \psi_s < -2\psi_B$)

Simplificando a partir de la ec. (7) y reemplazando en la ec. (3):

$$Q'_s \simeq \sqrt{2\epsilon_s q N_a \psi_s}$$
$$V_g - V_{FB} = \frac{\sqrt{2\epsilon_s q N_a \psi_s}}{C'_{ox}} + \psi_s$$

Resolviendo para $\sqrt{\psi_s}$:

$$\sqrt{\psi_s} = \sqrt{V_g - V_{FB} + \frac{\epsilon_s q N_a}{2 C'^2_{ox}}} - \sqrt{\frac{\epsilon_s q N_a}{2 C'^2_{ox}}}$$

La relación entre la tensión aplicada y ψ_s es cuasi lineal.

$$Q'_s \simeq \frac{\epsilon_s q N_a}{C'_{ox}} \left[\sqrt{\frac{2 C'^2_{ox}}{\epsilon_s q N_a} (V_g - V_{FB}) + 1} - 1 \right]$$

Función potencial y densidad de carga en el SC

Dependencia con la tensión aplicada

- Inversión fuerte ($\psi_s > -2\psi_B$)

En inversión fuerte, no puede despreciarse la carga de electrones libres:

$$\frac{d\psi}{dx} = -\sqrt{\frac{2qV_{th}N_a}{\epsilon_s} \left(\frac{\psi}{V_{th}} + \frac{n_i^2}{N_a^2} \exp\left(\frac{\psi}{V_{th}}\right) \right)}$$

Función potencial y densidad de carga en el SC

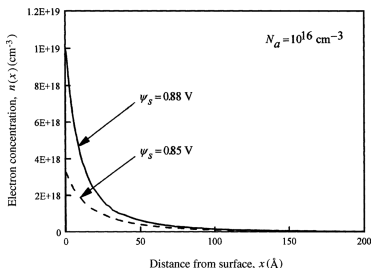
Dependencia con la tensión aplicada

- Inversión fuerte ($\psi_s > -2\psi_B$)

En inversión fuerte, no puede despreciarse la carga de electrones libres:

$$\frac{d\psi}{dx} = -\sqrt{\frac{2qV_{th}N_a}{\epsilon_s} \left(\frac{\psi}{V_{th}} + \frac{n_i^2}{N_a^2} \exp\left(\frac{\psi}{V_{th}}\right) \right)}$$

Resolviendo numéricamente se observa que $W_{inv} < 10 \text{ nm}$ ($W_d \approx 0,1 \mu\text{m}$).



Función potencial y densidad de carga en el SC

Dependencia con la tensión aplicada

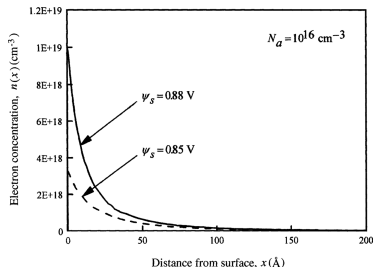
- Inversión fuerte ($\psi_s > -2\psi_B$)

En inversión fuerte, no puede despreciarse la carga de electrones libres:

$$\frac{d\psi}{dx} = -\sqrt{\frac{2qV_{th}N_a}{\epsilon_s} \left(\frac{\psi}{V_{th}} + \frac{n_i^2}{N_a^2} \exp\left(\frac{\psi}{V_{th}}\right) \right)}$$

Resolviendo numéricamente se observa que $W_{inv} < 10 \text{ nm}$ ($W_d \approx 0,1 \mu\text{m}$).

Simplificando la ec. (7):



$$Q'_s \simeq - \sqrt{\underbrace{2\epsilon_s q N_a \psi_s}_{\text{Carga fija}} + \underbrace{2\epsilon_s q V_{th} \frac{n_i^2}{N_a} \exp\left(\frac{\psi_s}{V_{th}}\right)}_{\text{Carga libre}}}$$
$$dQ'_s \simeq - \frac{\epsilon_s q N_a}{Q'_s} \left(d\psi_s + \frac{n_i^2}{N_a^2} \exp\left(\frac{\psi_s}{V_{th}}\right) d\psi_s \right)$$

Función potencial y densidad de carga en el SC

Dependencia con la tensión aplicada

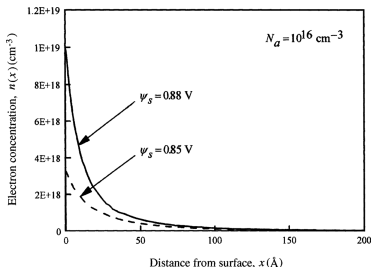
- Inversión fuerte** ($\psi_s > -2\psi_B$)

En inversión fuerte, no puede despreciarse la carga de electrones libres:

$$\frac{d\psi}{dx} = -\sqrt{\frac{2qV_{th}N_a}{\epsilon_s} \left(\frac{\psi}{V_{th}} + \frac{n_i^2}{N_a^2} \exp\left(\frac{\psi}{V_{th}}\right) \right)}$$

Resolviendo numéricamente se observa que $W_{inv} < 10 \text{ nm}$ ($W_d \approx 0,1 \mu\text{m}$).

Simplificando la ec. (7):



$$Q'_s \simeq - \sqrt{\underbrace{2\epsilon_s q N_a \psi_s}_{\text{Carga fija}} + \underbrace{2\epsilon_s q V_{th} \frac{n_i^2}{N_a} \exp\left(\frac{\psi_s}{V_{th}}\right)}_{\text{Carga libre}}}$$

$$dQ'_s \simeq - \frac{\epsilon_s q N_a}{Q'_s} \left(d\psi_s + \frac{n_i^2}{N_a^2} \exp\left(\frac{\psi_s}{V_{th}}\right) d\psi_s \right)$$

Si $\frac{n_i^2}{N_a^2} \exp\left(\frac{\psi_s}{V_{th}}\right) \gg 1$ domina la variación de Q'_{libre} .

Función potencial y densidad de carga en el SC

Dependencia con la tensión aplicada

- Inversión fuerte: La tensión umbral (V_T)

Si consideramos que $Q'_s \approx Q'_d + Q'_{inv}$ con $Q'_d = -\sqrt{2\epsilon_s q N_a \psi_s}$

$$V_g - V_{FB} = \frac{\sqrt{2\epsilon_s q N_a \psi_s} - Q'_{inv}}{C'_{ox}} + \psi_s$$

$$Q'_{inv} = -C'_{ox} \left(V_g - \underbrace{(V_{FB} + \psi_s + \gamma \sqrt{\psi_s})}_{V_T} \right)$$

Cuando la variación de $Q'_{libre} = Q'_{inv}$ domina frente a la variación de $Q'_{fija} = Q'_d$, la variación de W_d pasa a ser despreciable. $\Rightarrow \psi_s$ se mantiene cuasi constante.

Función potencial y densidad de carga en el SC

Dependencia con la tensión aplicada

- Inversión fuerte: La tensión umbral (V_T)

Si consideramos que $Q'_s \approx Q'_d + Q'_{inv}$ con $Q'_d = -\sqrt{2\epsilon_s q N_a \psi_s}$

$$V_g - V_{FB} = \frac{\sqrt{2\epsilon_s q N_a \psi_s} - Q'_{inv}}{C'_{ox}} + \psi_s$$

$$Q'_{inv} = -C'_{ox} \left(V_g - \underbrace{(V_{FB} + \psi_s + \gamma \sqrt{\psi_s})}_{V_T} \right)$$

Cuando la variación de $Q'_{libre} = Q'_{inv}$ domina frente a la variación de $Q'_{fija} = Q'_d$, la variación de W_d pasa a ser despreciable. $\Rightarrow \psi_s$ se mantiene cuasi constante.

$V_T \triangleq V_g :$

- $q\psi_s = E_{fi} - E_f = -2q\psi_B \Rightarrow \psi_s = -2\psi_B$
- $\frac{n_i^2}{N_a^2} \exp\left(\frac{\psi_s}{V_{th}}\right) = 1 \Rightarrow \psi_s = 2 V_{th} \ln\left(\frac{N_a}{n_i}\right) = -2\psi_B$

Función potencial y densidad de carga en el SC

Dependencia con la tensión aplicada

- Inversión fuerte: La tensión umbral (V_T)

Si consideramos que $Q'_s \approx Q'_d + Q'_{inv}$ con $Q'_d = -\sqrt{2\epsilon_s q N_a \psi_s}$

$$V_g - V_{FB} = \frac{\sqrt{2\epsilon_s q N_a \psi_s} - Q'_{inv}}{C'_{ox}} + \psi_s$$

$$Q'_{inv} = -C'_{ox} \left(V_g - \underbrace{(V_{FB} + \psi_s + \gamma \sqrt{\psi_s})}_{V_T} \right)$$

Cuando la variación de $Q'_{libre} = Q'_{inv}$ domina frente a la variación de $Q'_{fija} = Q'_d$, la variación de W_d pasa a ser despreciable. $\Rightarrow \psi_s$ se mantiene cuasi constante.

$V_T \triangleq V_g$:

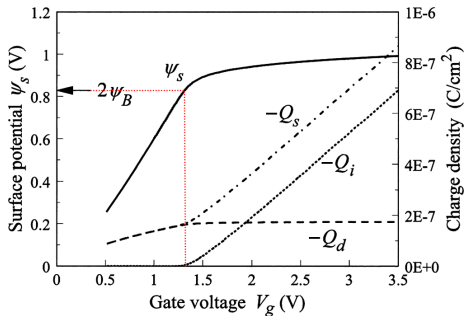
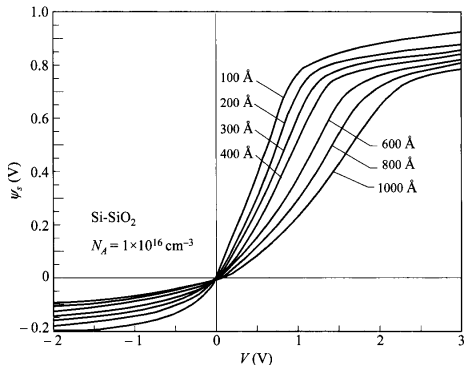
- $q\psi_s = E_{fi} - E_f = -2q\psi_B \Rightarrow \psi_s = -2\psi_B$
- $\frac{n_i^2}{N_a^2} \exp\left(\frac{\psi_s}{V_{th}}\right) = 1 \Rightarrow \psi_s = 2V_{th} \ln\left(\frac{N_a}{n_i}\right) = -2\psi_B$

$$V_T = V_{FB} - 2\psi_B + \gamma \sqrt{-2\psi_B} \quad (8)$$

Función potencial y densidad de carga en el SC

Dependencia con la tensión aplicada

- Potencial de superficie (ψ_s)



Función potencial y densidad de carga en el SC

Dependencia con la tensión aplicada

- Carga en el sustrato (Q'_s)

$$|Q'_s| = \sqrt{2\epsilon_s q V_{th} N_a} \left[\left(\exp\left(-\frac{\psi_s}{V_{th}}\right) + \frac{\psi_s}{V_{th}} - 1 \right) + \frac{n_i^2}{N_a^2} \left(\exp\left(\frac{\psi_s}{V_{th}}\right) - \frac{\psi_s}{V_{th}} - 1 \right) \right]^{1/2}$$

- La ec. (7) se desarrolló suponiendo válida la aproximación de Boltzmann.

Función potencial y densidad de carga en el SC

Dependencia con la tensión aplicada

- Carga en el sustrato (Q'_s)

$$|Q'_s| = \sqrt{2\epsilon_s q V_{th} N_a} \left[\left(\exp\left(-\frac{\psi_s}{V_{th}}\right) + \frac{\psi_s}{V_{th}} - 1 \right) + \frac{n_i^2}{N_a^2} \left(\exp\left(\frac{\psi_s}{V_{th}}\right) - \frac{\psi_s}{V_{th}} - 1 \right) \right]^{1/2}$$

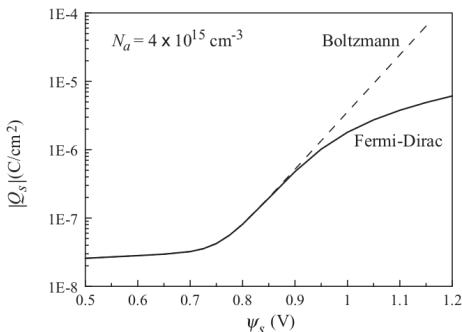
- La ec. (7) se desarrolló suponiendo válida la aproximación de Boltzmann.
- Tanto en acumulación como en inversión fuerte, E_f se encuentra dentro de la banda de valencia o conducción.

Función potencial y densidad de carga en el SC

Dependencia con la tensión aplicada

- Carga en el sustrato (Q'_s)

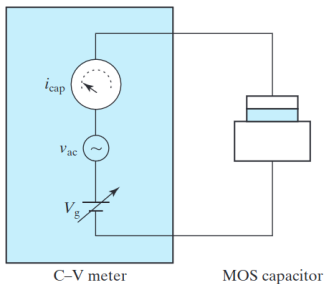
$$|Q'_s| = \sqrt{2\epsilon_s q V_{th} N_a} \left[\left(\exp\left(-\frac{\psi_s}{V_{th}}\right) + \frac{\psi_s}{V_{th}} - 1 \right) + \frac{n_i^2}{N_a^2} \left(\exp\left(\frac{\psi_s}{V_{th}}\right) - \frac{\psi_s}{V_{th}} - 1 \right) \right]^{1/2}$$



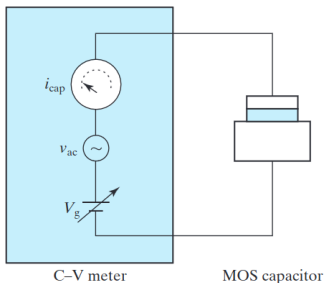
- La ec. (7) se desarrolló suponiendo válida la aproximación de Boltzmann.
- Tanto en acumulación como en inversión fuerte, E_f se encuentra dentro de la banda de valencia o conducción.
- La AB no es precisa y se sobreestima la densidad de carga.

Características Capacitancia vs. Tensión

$$C_g = \frac{dQ_m}{dV_g} = \frac{d(-Q_s)}{dV_g}$$



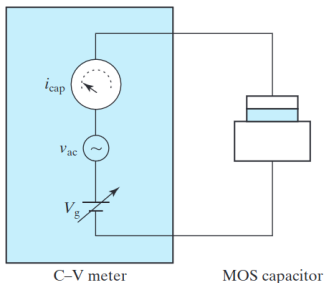
Características Capacitancia vs. Tensión



$$C_g = \frac{dQ_m}{dV_g} = \frac{d(-Q_s)}{dV_g}$$

$$\frac{1}{C_g} = \frac{dV_g}{d(-Q_s)} = \frac{d\left(V_{FB} + \frac{-Q_s}{C_{ox}} + \psi_s\right)}{d(-Q_s)}$$

Características Capacitancia vs. Tensión



$$C_g = \frac{dQ_m}{dV_g} = \frac{d(-Q_s)}{dV_g}$$

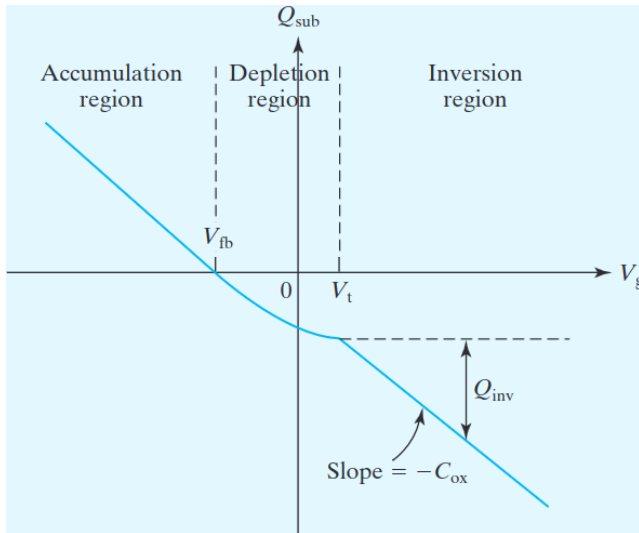
$$\frac{1}{C_g} = \frac{dV_g}{d(-Q_s)} = \frac{d\left(V_{FB} + \frac{-Q_s}{C_{ox}} + \psi_s\right)}{d(-Q_s)}$$

$$\frac{1}{C_g} = \frac{1}{C_{ox}} + \underbrace{\frac{d\psi_s}{d(-Q_s)}}_{1/C_s} = \frac{1}{C_{ox}} + \frac{1}{C_s}$$

$$\Rightarrow C_g = \frac{C_{ox} C_s}{C_{ox} + C_s}$$

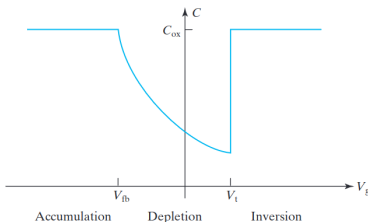
Características Capacitancia vs. Tensión

Primera Aproximación



Características Capacitancia vs. Tensión

Primera Aproximación

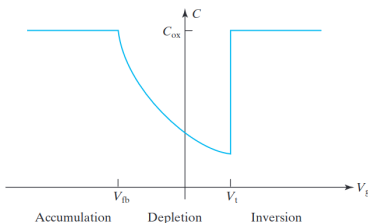


- Acumulación

$$Q_s \simeq -C_{ox} (V_g - V_{FB}) \Rightarrow C_g = \frac{d(-Q_s)}{dV_g} = C_{ox}$$

Características Capacitancia vs. Tensión

Primera Aproximación



- Vaciamiento

$$Q'_s \simeq \sqrt{2\epsilon_s q N_a \psi_s} \Rightarrow C'_s = \sqrt{\frac{\epsilon_s q N_a}{2\psi_s}} = \frac{\epsilon_s}{W_d(V_g)}$$

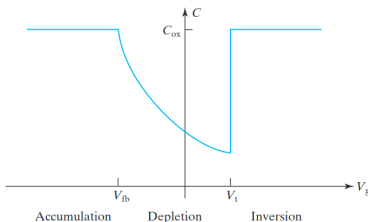
$$\Rightarrow C_g(V_g) = C_{ox} // \frac{A\epsilon_s}{W_d(V_g)} = \frac{C_{ox}}{\sqrt{\frac{4}{\gamma^2}(V_g - V_{FB}) + 1}}$$

$$C_{\min} = C_g(V_T) = \frac{C_{ox}}{\sqrt{\frac{4}{\gamma^2}(-2\psi_B + \gamma\sqrt{-2\psi_B}) + 1}}$$

$$C'_{s,\min} = \sqrt{\frac{qN_a\epsilon_s}{-4\psi_B}} = \frac{C'_{ox}\gamma}{\sqrt{-8\psi_B}} \Rightarrow C_{\min} = \frac{C_{ox}}{\frac{\sqrt{-8\psi_B}}{\gamma} + 1}$$

Características Capacitancia vs. Tensión

Primera Aproximación

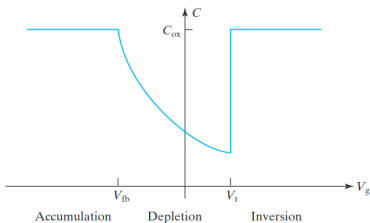


- Inversión

$$Q_s \simeq -C_{ox} (V_g - V_T) \Rightarrow C_g = \frac{d(-Q_s)}{dV_g} = C_{ox}$$

Características Capacitancia vs. Tensión

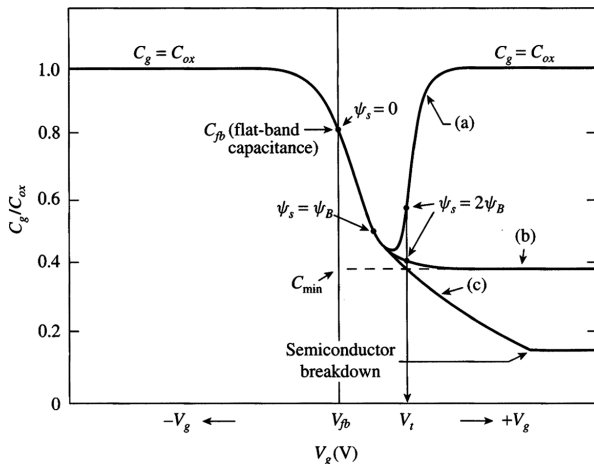
Primera Aproximación



Pero... La realidad debería ser más suave, ¿no?

Características Capacitancia vs. Tensión

$$|Q'_s| = \sqrt{2\epsilon_s q V_{th} N_a} \left[\left(\exp\left(-\frac{\psi_s}{V_{th}}\right) + \frac{\psi_s}{V_{th}} - 1 \right) + \frac{n_i^2}{N_a^2} \left(\exp\left(\frac{\psi_s}{V_{th}}\right) - \frac{\psi_s}{V_{th}} - 1 \right) \right]^{1/2}$$



Características Capacitancia vs. Tensión

$$|Q'_s| = \sqrt{2\epsilon_s q V_{th} N_a} \left[\left(\exp\left(-\frac{\psi_s}{V_{th}}\right) + \frac{\psi_s}{V_{th}} - 1 \right) + \frac{n_i^2}{N_a^2} \left(\exp\left(\frac{\psi_s}{V_{th}}\right) - \frac{\psi_s}{V_{th}} - 1 \right) \right]^{1/2}$$

- Acumulación ($\psi_s < 0$)

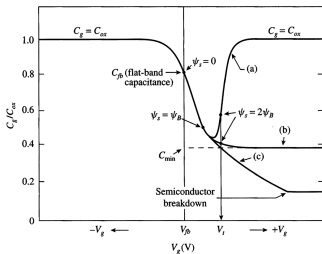
$$Q'_s \simeq \sqrt{2\epsilon_s q V_{th} N_a} \left[\exp\left(-\frac{\psi_s}{V_{th}}\right) + \frac{\psi_s}{V_{th}} - 1 \right]^{1/2}$$

$$C'_s = \frac{d(-Q'_s)}{d\psi_s} \simeq \sqrt{\frac{\epsilon_s q N_a}{2 V_{th}}} \frac{\exp\left(-\frac{\psi_s}{V_{th}}\right) - 1}{\left[\exp\left(-\frac{\psi_s}{V_{th}}\right) + \frac{\psi_s}{V_{th}} - 1 \right]^{1/2}}$$

$$C'_s = \frac{C'_{ox} \gamma}{2\sqrt{V_{th}}} F(\psi_s) \rightarrow \frac{C'_{ox} \gamma}{2\sqrt{V_{th}}} \exp\left(-\frac{\psi_s}{2 V_{th}}\right)$$

$$C'_s \gg C'_{ox} \Leftrightarrow \underbrace{\psi_s < -2 V_{th} \ln\left(10 \frac{2\sqrt{V_{th}}}{\gamma}\right)}_{\sim 2} \simeq -100 \text{ mV}$$

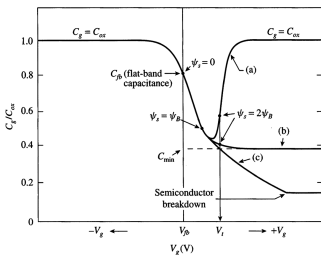
$$F(-100 \text{ mV}) \simeq 7,12 \quad \exp\left(\frac{100 \text{ mV}}{2 V_{th}}\right) \simeq 6,9$$



Características Capacitancia vs. Tensión

$$|Q'_s| = \sqrt{2\epsilon_s q V_{th} N_a} \left[\left(\exp\left(-\frac{\psi_s}{V_{th}}\right) + \frac{\psi_s}{V_{th}} - 1 \right) + \frac{n_i^2}{N_a^2} \left(\exp\left(\frac{\psi_s}{V_{th}}\right) - \frac{\psi_s}{V_{th}} - 1 \right) \right]^{1/2}$$

- Flat Band ($\psi_s = 0$)



$$Q'_s \simeq \sqrt{2\epsilon_s q V_{th} N_a} \left[\exp\left(-\frac{\psi_s}{V_{th}}\right) + \frac{\psi_s}{V_{th}} - 1 \right]^{1/2}$$

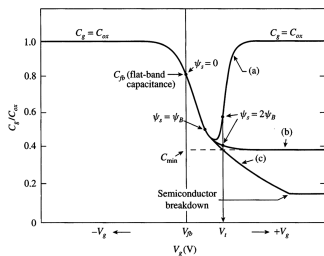
$$C'_s = \frac{d(-Q'_s)}{d\psi_s} \simeq \sqrt{\frac{\epsilon_s q N_a}{2 V_{th}}} \frac{\exp\left(-\frac{\psi_s}{V_{th}}\right) - 1}{\left[\exp\left(-\frac{\psi_s}{V_{th}}\right) + \frac{\psi_s}{V_{th}} - 1 \right]^{1/2}}$$

$$\lim_{\psi_s \rightarrow 0} F(\psi_s) \rightarrow \sqrt{2} \Rightarrow C'_s = \frac{C'_{ox}\gamma}{\sqrt{2} V_{th}} = \sqrt{2} \frac{\epsilon_s}{W_{acc}} = \frac{\epsilon_s}{L_D}$$

$$\Rightarrow C_{fb} = C'_{ox} // C'_s = \underbrace{\frac{\gamma}{\sqrt{2} V_{th} + \gamma}}_{\sim 0,6} C'_{ox}$$

Características Capacitancia vs. Tensión

$$|Q'_s| = \sqrt{2\epsilon_s q V_{th} N_a} \left[\left(\exp\left(-\frac{\psi_s}{V_{th}}\right) + \frac{\psi_s}{V_{th}} - 1 \right) + \frac{n_i^2}{N_a^2} \left(\exp\left(\frac{\psi_s}{V_{th}}\right) - \frac{\psi_s}{V_{th}} - 1 \right) \right]^{1/2}$$



• Vaciamiento

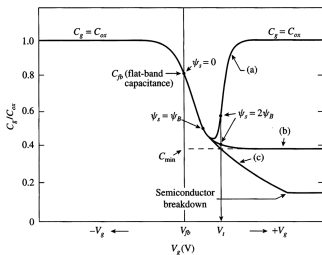
$$Q'_s \simeq -\sqrt{2\epsilon_s q V_{th} N_a} \left[\exp\left(-\frac{\psi_s}{V_{th}}\right) + \frac{\psi_s}{V_{th}} - 1 \right]^{1/2}$$

Si $\psi_s > 10 \times V_{th}$: $\exp\left(-\frac{\psi_s}{V_{th}}\right) < 5 \times 10^{-5}$

$$C_g(V_g) = \frac{C_{ox}}{\sqrt{\frac{4}{\gamma^2} (V_g - V_{FB}) + 1}}$$

Características Capacitancia vs. Tensión

$$|Q'_s| = \sqrt{2\epsilon_s q V_{th} N_a} \left[\left(\exp\left(-\frac{\psi_s}{V_{th}}\right) + \frac{\psi_s}{V_{th}} - 1 \right) + \frac{n_i^2}{N_a^2} \left(\exp\left(\frac{\psi_s}{V_{th}}\right) - \frac{\psi_s}{V_{th}} - 1 \right) \right]^{1/2}$$



• Inversión débil

$$Q'_s \simeq -\sqrt{2\epsilon_s q V_{th} N_a} \left[\frac{\psi_s}{V_{th}} - 1 + \frac{n_i^2}{N_a^2} \exp\left(\frac{\psi_s}{V_{th}}\right) \right]^{1/2}$$

$$C'_s = \frac{d(-Q'_s)}{d\psi_s} \simeq \sqrt{\frac{\epsilon_s q N_a}{2 V_{th}}} \frac{1 + \frac{n_i^2}{N_a^2} \exp\left(\frac{\psi_s}{V_{th}}\right)}{\left[\frac{\psi_s}{V_{th}} - 1 + \frac{n_i^2}{N_a^2} \exp\left(\frac{\psi_s}{V_{th}}\right) \right]^{1/2}}$$

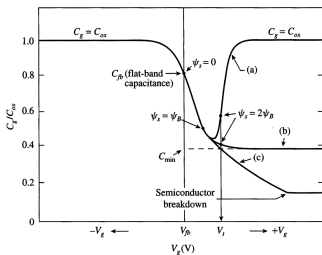
El valor mínimo aumenta y sucede a una tensión menor.
¿Podemos estimarlo?

Características Capacitancia vs. Tensión

$$|Q'_s| = \sqrt{2\epsilon_s q V_{th} N_a} \left[\left(\exp\left(-\frac{\psi_s}{V_{th}}\right) + \frac{\psi_s}{V_{th}} - 1 \right) + \frac{n_i^2}{N_a^2} \left(\exp\left(\frac{\psi_s}{V_{th}}\right) - \frac{\psi_s}{V_{th}} - 1 \right) \right]^{1/2}$$

• Inversión débil

Buscar el mínimo de C'_s y suponer que $\sqrt{\psi_s} \simeq \sqrt{-2\psi_B}$.



$$\psi_{s,\min} \simeq -2\psi_B + V_{th} \ln \underbrace{\left[\sqrt{(\beta - 2)^2 + 1} - (\beta - 2) \right]}_{<1}$$

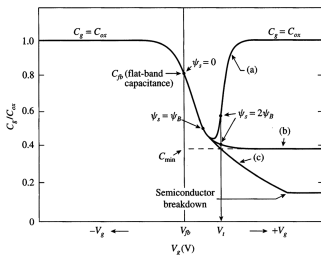
$$\text{Con } \beta = \frac{-2\psi_B}{V_{th}} = 2 \ln \left(\frac{N_a}{n_i} \right).$$

Características Capacitancia vs. Tensión

$$|Q'_s| = \sqrt{2\epsilon_s q V_{th} N_a} \left[\left(\exp\left(-\frac{\psi_s}{V_{th}}\right) + \frac{\psi_s}{V_{th}} - 1 \right) + \frac{n_i^2}{N_a^2} \left(\exp\left(\frac{\psi_s}{V_{th}}\right) - \frac{\psi_s}{V_{th}} - 1 \right) \right]^{1/2}$$

• Inversión débil

Buscar el mínimo de C'_s y suponer que $\sqrt{\psi_s} \simeq \sqrt{-2\psi_B}$.



$$\psi_{s,\min} \simeq -2\psi_B + V_{th} \ln \underbrace{\left[\sqrt{(\beta - 2)^2 + 1} - (\beta - 2) \right]}_{<1}$$

Con $\beta = \frac{-2\psi_B}{V_{th}} = 2 \ln \left(\frac{N_a}{n_i} \right)$.

Incluso más simple:

$$\sqrt{1+x} \underset{x \rightarrow 0}{\simeq} 1 + \frac{1}{2}x \Rightarrow \sqrt{(\beta - 2)^2 + 1} - (\beta - 2) \simeq \frac{1}{2} \frac{1}{\beta - 2}$$

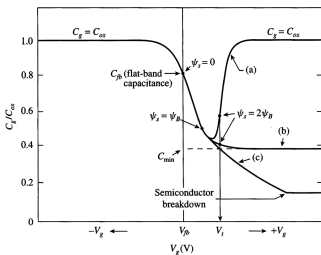
$$\Rightarrow \psi_{s,\min} \simeq -2\psi_B - V_{th} \ln [2\beta - 4]$$

Además, podemos iterar reemplazando $-2\psi_B$ por $\psi_{s,\min}$ y mejorar la estimación.

Características Capacitancia vs. Tensión

$$|Q'_s| = \sqrt{2\epsilon_s q V_{th} N_a} \left[\left(\exp\left(-\frac{\psi_s}{V_{th}}\right) + \frac{\psi_s}{V_{th}} - 1 \right) + \frac{n_i^2}{N_a^2} \left(\exp\left(\frac{\psi_s}{V_{th}}\right) - \frac{\psi_s}{V_{th}} - 1 \right) \right]^{1/2}$$

- Tensión umbral ($\psi_s = -2\psi_B$)



$$Q'_s \simeq -\sqrt{2\epsilon_s q V_{th} N_a} \left[\frac{\psi_s}{V_{th}} + \frac{n_i^2}{N_a^2} \exp\left(\frac{\psi_s}{V_{th}}\right) \right]^{1/2}$$

$$C'_s = \frac{d(-Q'_s)}{d\psi_s} \simeq \sqrt{\frac{\epsilon_s q N_a}{2 V_{th}}} \frac{1 + \frac{n_i^2}{N_a^2} \exp\left(\frac{\psi_s}{V_{th}}\right)}{\left[\frac{\psi_s}{V_{th}} + \frac{n_i^2}{N_a^2} \exp\left(\frac{\psi_s}{V_{th}}\right) \right]^{1/2}}$$

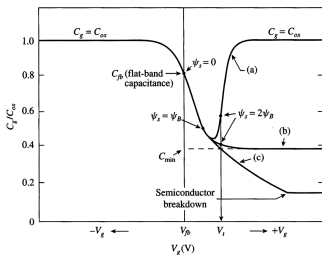
$$\frac{n_i^2}{N_a^2} \exp\left(\frac{-2\psi_B}{V_{th}}\right) = 1 \Rightarrow C'_s \simeq \sqrt{\frac{\epsilon_s q N_a}{2 V_{th}}} \frac{2}{\sqrt{\frac{-2\psi_B}{V_{th}} + 1}}$$

$$\Rightarrow C'_s \simeq \underbrace{2 \sqrt{\frac{-2\psi_B}{-2\psi_B + V_{th}}}}_{\sim 1} C'_{s,min} \Rightarrow C_g(V_T) = \frac{C_{ox}}{\frac{\sqrt{-2\psi_B}}{\gamma} + 1}$$

Características Capacitancia vs. Tensión

$$|Q'_s| = \sqrt{2\epsilon_s q V_{th} N_a} \left[\left(\exp\left(-\frac{\psi_s}{V_{th}}\right) + \frac{\psi_s}{V_{th}} - 1 \right) + \frac{n_i^2}{N_a^2} \left(\exp\left(\frac{\psi_s}{V_{th}}\right) - \frac{\psi_s}{V_{th}} - 1 \right) \right]^{1/2}$$

- Inversión fuerte (a. bajas frecuencias)



$$Q'_s \simeq -\sqrt{2\epsilon_s q V_{th} N_a} \left[\frac{n_i}{N_a} \exp\left(\frac{\psi_s}{2V_{th}}\right) \right]$$

$$C'_s = \frac{d(-Q'_s)}{d\psi_s} \simeq \sqrt{\epsilon_s q N_a} \frac{n_i}{N_a} \exp\left(\frac{\psi_s}{2V_{th}}\right)$$

$$C'_s = \frac{C'_{ox} \gamma}{2\sqrt{V_{th}}} \frac{n_i}{N_a} \exp\left(\frac{\psi_s}{2V_{th}}\right)$$

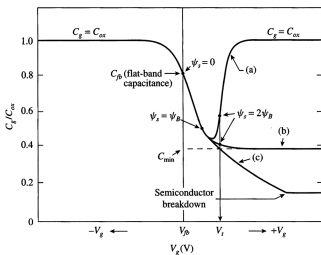
$$C'_s \gg C'_{ox} \Leftrightarrow \psi_s > 2V_{th} \ln\left(\frac{N_a}{n_i} 10 \frac{2\sqrt{V_{th}}}{\gamma}\right)$$

$$\Rightarrow \psi_s > -2\psi_B + 2V_{th} \ln\left(10 \frac{2\sqrt{V_{th}}}{\gamma}\right) \simeq -2\psi_B + 100 \text{ mV}$$

Características Capacitancia vs. Tensión

$$|Q'_s| = \sqrt{2\epsilon_s q V_{th} N_a} \left[\left(\exp\left(-\frac{\psi_s}{V_{th}}\right) + \frac{\psi_s}{V_{th}} - 1 \right) + \frac{n_i^2}{N_a^2} \left(\exp\left(\frac{\psi_s}{V_{th}}\right) - \frac{\psi_s}{V_{th}} - 1 \right) \right]^{1/2}$$

- Inversión fuerte (b. altas frecuencias)



C_{inv} está relacionada con la variación de Q_{inv} , conformada por **portadores minoritarios**.

El tiempo de respuesta en inversión fuerte para generar un cambio $> qN_a W_d$:

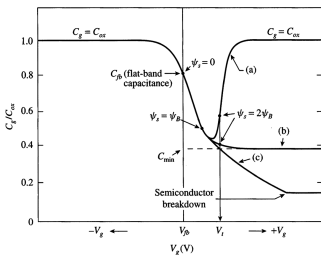
$$\tau_{inv} \sim \frac{N_a}{n_i} \tau_{n,p} \sim 0,1 \text{ s} - 10 \text{ s}$$

Si $f > 100 \text{ Hz}$, Q_{inv} no logra “seguir” el cambio.
 Los portadores mayoritarios (Q_d) responden más rápido
 $\Rightarrow C_s = C_{s,min} \Rightarrow C_g = C_{min}$.

Características Capacitancia vs. Tensión

$$|Q'_s| = \sqrt{2\epsilon_s q V_{th} N_a} \left[\left(\exp\left(-\frac{\psi_s}{V_{th}}\right) + \frac{\psi_s}{V_{th}} - 1 \right) + \frac{n_i^2}{N_a^2} \left(\exp\left(\frac{\psi_s}{V_{th}}\right) - \frac{\psi_s}{V_{th}} - 1 \right) \right]^{1/2}$$

- Inversión fuerte (c. *deep depletion*)



En este caso, al medir una curva CV, la tensión V_g no varía lentamente.

Si el tiempo de crecimiento (t_r) es menor a $\tau_{n,p}$, los portadores minoritarios no alcanzan a formar la capa de inversión.

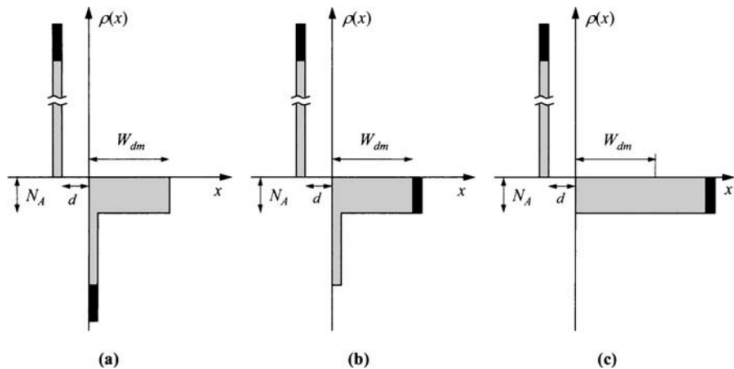
En este caso $W_d > W_{d,\text{máx}}$ y $C_g < C_{\text{min}}$.

Bajo estas condiciones, no se alcanza el estado estacionario.

Si se detiene la variación de V_g , C_g recupera su valor C_{min} . El tiempo necesario para realizar esta recuperación se denomina **retention time**.

Características Capacitancia vs. Tensión

Inversión fuerte a distintas frecuencias



(a) Low Frequency; (b) High Frequency; (c) Deep Depletion

Características Capacitancia vs. Tensión

¿Cómo puedo simular/medir la curva CV?

$$i_C(t) = C \frac{dv_C(t)}{dt}$$

Si la tensión tiene variación constante: $v_C(t) = m t$

$$\Rightarrow \frac{dv_C(t)}{dt} = m = \frac{\Delta v_C}{\Delta t}$$

$$\Rightarrow C' = \frac{C}{A} = \frac{1}{A} \frac{\Delta t}{\Delta v_C} i_C(t)$$

Características Capacitancia vs. Tensión

¿Cómo puedo simular/medir la curva CV?

$$i_C(t) = C \frac{dv_C(t)}{dt}$$

Si la tensión tiene variación constante: $v_C(t) = m t$

$$\Rightarrow \frac{dv_C(t)}{dt} = m = \frac{\Delta v_C}{\Delta t}$$

$$\Rightarrow C' = \frac{C}{A} = \frac{1}{A} \frac{\Delta t}{\Delta v_C} i_C(t)$$

Vamos al simulador...